

1 求解 ODE

$\frac{du}{dt} = -\alpha u, u(0) = \beta, t \in [0, 2]$ 的精确解为 $\beta e^{-\alpha t}$, 其中 $\beta = 1, \alpha = 5$ 。

1.1 显式欧拉方法

由公式 $\frac{u^{n+1} - u^n}{\Delta t} = f(t_n, u^n)$, 代码如下:

```
// 向前插商 (欧拉法)
std::pair<double, double> euler(double t0, double u0, double t1, int n)
{
    double dt = (t1 - t0) / n;
    double u = u0;
    std::vector<double> U(n); // 存储数值解
    std::vector<double> T(n); // 存储精确解
    for (int i = 0; i < n; ++i)
    {
        u = u + dt * f(t0 + i * dt, u); // (u_{n+1} - u_n) / dt 约等于 f(t_n, u_n)
        U[i] = u;
        T[i] = solution_ode(t0 + (i + 1) * dt);
    }
    double error1 = L2Error(U, T); // L2误差
    double error2 = L_Chebyshev(U, T); // L无穷误差
    return std::make_pair(error1, error2);
}
```

运行结果如下:

---euler---				
N	L2_error	L2_order	L_inf_error	L_inf_order
20	0.0473164	0	0.117879	0
40	0.0214204	1.14336	0.0514732	1.19542
80	0.0102672	1.06094	0.0242705	1.08462
160	0.00503411	1.02824	0.0118053	1.03977

图 1: Euler

显式欧拉方法是一阶方法, 其收敛阶为 1。由图 1 可见, 随着 N 的增大, L2 误差和 L 无穷误差逐渐减小, 且误差阶始终在 1 附近并越来越接近 1, 符合理论预期。

1.2 中心格式

由公式 $\frac{u^{n+1} - u^{n-1}}{2\Delta t} = f(t_n, u^n)$, 代码如下:

```
// 中心差商
std::pair<double, double> leapfrog(double t0, double u0, double t1, int n)
{
    double dt = (t1 - t0) / n;
    double u_prev = u0;
```

```

// 使用欧拉法计算第一步
double u_curr = u_prev + dt * f(t0, u_prev);

std::vector<double> U(n); // 数值解
U[0] = u_curr;
std::vector<double> T(n); // 精确解
T[0] = solution_ode(t0 + dt);
for (int i = 1; i < n; ++i)
{
    double u_next = u_prev + 2 * dt * f(t0 + i * dt, u_curr); // (u_{n+1} - u_{n-1}) / 2dt 约等于 f(t_n
    , u_n)
    u_prev = u_curr;
    u_curr = u_next;
    U[i] = u_curr;
    T[i] = solution_ode(t0 + (i + 1) * dt);
}
double error1 = L2Error(U, T);
double error2 = L_Chebyshev(U, T);
return std::make_pair(error1, error2);
}

```

运行结果如下：

---leapfrog---				
N	L2_error	L2_order	L_inf_error	L_inf_order
20	227.119	0	798.5	0
40	75.1931	1.59478	297.137	1.42617
80	19.7233	1.9307	82.8744	1.84213
160	4.91587	2.00438	21.3085	1.9595

图 2: 中心格式

中心格式是二阶方法，其收敛阶为 2。由图 2 可见，当 N=20 和 40 时 L2 误差和 L 无穷误差很大，二者的误差阶也与 2 相差甚远。这说明理论上的收敛阶只有在 Δt 足够小时才显现，当 N=20 或 40 时，步长仍较大，高阶项影响显著。同时由于第一步使用了欧拉法，此误差会持续参与后面的迭代，在 N 较小时可能更加明显。但随着 N 的增大，L2 误差和 L 无穷误差逐渐减小，误差阶越来越接近 2，符合理论预期。

1.3 三阶 Runge-Kutta 方法

由公式

$$\begin{aligned}
 u^{(1)} &= u^n + \Delta t f(t_n, u^n) \\
 u^{(2)} &= \frac{3}{4}u^n + \frac{1}{4}u^{(1)} + \frac{1}{4}\Delta t f(t_{n+1}, u^{(1)}) \\
 u^{n+1} &= \frac{1}{3}u^n + \frac{2}{3}u^{(2)} + \frac{2}{3}\Delta t f(t_{n+\frac{1}{2}}, u^{(2)})
 \end{aligned}$$

代码如下：

```

// 三阶Runge-Kutta方法
std::pair<double, double> runge_kutta(double t0, double u0, double t1, int n)
{
    double dt = (t1 - t0) / n;
    std::vector<double> U(n); // 数值解
    std::vector<double> T(n); // 精确解
    for (int i = 0; i < n; ++i)
    {
        double y1 = u0 + dt * f(t0 + i * dt, u0);
        double y2 = 0.75 * u0 + 0.25 * y1 + 0.25 * dt * f(t0 + (i + 1) * dt, y1);
        u0 = u0 / 3.0 + 2.0 * y2 / 3.0 + 2.0 * dt * f(t0 + (i + 0.5) * dt, y2) / 3.0;
        U[i] = u0;
        T[i] = solution_ode(t0 + (i + 1) * dt);
    }
    double error1 = L2Error(U, T);
    double error2 = L_Chebyshev(U, T);
    return std::make_pair(error1, error2);
}

```

运行结果如下：

---Runge-Kutta---				
N	L2_error	L2_order	L_inf_error	L_inf_order
20	0.00122533	0	0.00286208	0
40	0.000125754	3.2845	0.000292685	3.28964
80	1.42226e-05	3.14436	3.30923e-05	3.14478
160	1.69096e-06	3.07227	3.93432e-06	3.07231

图 3: 三阶 Runge-Kutta 方法

三阶 Runge-Kutta 方法是三阶方法，其收敛阶为 3。由图 3 可见，随着 N 的增大，L2 误差和 L 无穷误差逐渐减小，且误差始终在 3 附近并越来越接近 3，符合理论预期。

对比三种方法，三阶 Runge-Kutta 方法的误差远小于前两种方法，N = 20 时的三阶 Runge-Kutta 方法的误差已经小于 N = 160 时的 Euler 法误差，可见其高精度的优势。

2 求解 PDE 的三种 scheme

$u_t(x, t) = au_x(x, t)$, $x \in [0, 2\pi]$, $t > 0$ 且 $u(x, 0) = \sin(kx)$ 的精确解为 $\sin(k(x + at))$.

首先给出三种 scheme 及实现代码：

2.1 scheme1

在周期边界条件下，由公式

$$V_j^{n+1} = V_j^n + a \frac{\Delta t}{2\Delta x} (V_{j+1}^n - V_{j-1}^n)$$

$$V_j^0 = f(x_j), \quad j = 0, \dots, N - 1$$

代码如下：

```
std::pair<double, double> scheme1(double a, double k, double T, int N)
{
    auto rule1 = [] (const std::vector<double> &u, int j, int N, double a, double dt, double dx)
    {
        int j_prev = (j - 1 + N) % N;
        int j_next = (j + 1) % N;
        return u[j] + a * (dt / (2.0 * dx)) * (u[j_next] - u[j_prev]);
    };
    return scheme(a, k, T, N, rule1);
}
```

2.2 scheme2

在周期边界条件下, 由公式

$$V_j^{n+1} = \frac{V_{j+1}^n + V_{j-1}^n}{2} + a \frac{\Delta t}{2\Delta x} (V_{j+1}^n - V_{j-1}^n)$$

$$V_j^0 = f(x_j)$$

代码如下:

```
std::pair<double, double> scheme2(double a, double k, double T, int N)
{
    auto rule2 = [] (const std::vector<double> &u, int j, int N, double a, double dt, double dx)
    {
        int j_prev = (j - 1 + N) % N;
        int j_next = (j + 1) % N;
        return 0.5 * (u[j_next] + u[j_prev]) + a * (dt / (2.0 * dx)) * (u[j_next] - u[j_prev]);
    };
    return scheme(a, k, T, N, rule2);
}
```

2.3 scheme3

在周期边界条件且 $a > 0$ 下, 由公式

$$V_j^{n+1} = V_j^n + a \frac{\Delta t}{\Delta x} (V_{j+1}^n - V_j^n)$$

$$V_j^0 = f(x_j)$$

代码如下:

```
// scheme3
std::pair<double, double> scheme3(double a, double k, double T, int N)
{
    auto rule3 = [] (const std::vector<double> &u, int j, int N, double a, double dt, double dx)
    {
        int j_prev = (j - 1 + N) % N;
```

```

    int j_next = (j + 1) % N;
    return u[j] + a * (dt / dx) * (u[j_next] - u[j]);
};

return scheme(a, k, T, N, rule3);
}

```

3 求解 PDE

3.1 第 1 题

scheme1 的运行结果如下：

(1)				
---scheme1,k=1,T=5---				
N	L2_error	L2_order	L_inf_error	L_inf_order
20	0.677787	0	0.95136	0
40	0.294508	1.20253	0.415993	1.19343
80	0.135987	1.11483	0.192223	1.11378
---scheme1,k=1,T=10---				
N	L2_error	L2_order	L_inf_error	L_inf_order
20	1.98738	0	2.80923	0
40	0.713808	1.47726	1.00819	1.47841
80	131.839	-7.52902	357.161	-8.46866
---scheme1,k=1,T=20---				
N	L2_error	L2_order	L_inf_error	L_inf_order
20	9.31803	0	13.1723	0
40	24.1725	-1.37527	54.0905	-2.03787
80	1.8636e+20	-62.7414	4.12847e+20	-62.7269
---scheme1,k=5,T=5---				
N	L2_error	L2_order	L_inf_error	L_inf_order
20	128.087	0	163.405	0
40	278.715	-1.12167	370.043	-1.17924
80	36.8702	2.91826	51.8	2.83667
---scheme1,k=5,T=10---				
N	L2_error	L2_order	L_inf_error	L_inf_order
20	24067.4	0	25241.4	0
40	115128	-2.25808	162568	-2.68718
80	1940.17	5.89091	2854.39	5.83171
---scheme1,k=5,T=20---				
N	L2_error	L2_order	L_inf_error	L_inf_order
20	8.85415e+08	0	1.25087e+09	0
40	1.90262e+10	-4.42549	2.67916e+10	-4.42078
80	1.13473e+20	-32.4736	2.36585e+20	-33.0399
---scheme1,k=10,T=5---				
N	L2_error	L2_order	L_inf_error	L_inf_order
20	0.262375	0	0.262375	0
40	24067.4	-16.4851	25241.4	-16.5538
80	115128	-2.25808	162568	-2.68718
---scheme1,k=10,T=10---				
N	L2_error	L2_order	L_inf_error	L_inf_order
20	0.506366	0	0.506366	0
40	8.85415e+08	-30.7035	1.25087e+09	-31.202
80	1.90262e+10	-4.42549	2.67916e+10	-4.42078
---scheme1,k=10,T=20---				
N	L2_error	L2_order	L_inf_error	L_inf_order
20	0.873297	0	0.8733	0
40	1.12646e+18	-60.162	1.59062e+18	-60.6597
80	1.5323e+21	-10.4097	3.82188e+21	-11.2305

图 4: scheme1

根据稳定性分析, scheme1 是无条件不稳定的, 计算过程中的微小误差会在时间步进中被不断放大, 最终导致数值解发散。k=1, T=5 是最平滑的初始条件, 此时 N 从 20 增加到 80, 误差逐渐减小, 且误差阶似乎较为稳定, 这可能是因为在很短的时间内, 对于非常光滑的解, 不稳定性带来的误差增长还没有超过因网格加密 (Δx 减小) 而带来的离散化误差的减小。当 k 和 T 增大时, 误差迅速增大, 数值解完全崩溃。

3.2 第 2 题

scheme2 的运行结果如下:

(2)				
---scheme2,k=1,T=5---				
N	L2_error	L2_order	L_inf_error	L_inf_order
20	0.122095	0	0.171334	0
40	0.0627599	0.96009	0.0886569	0.950507
80	0.0295849	1.08498	0.0418385	1.0834
160	0.0148935	0.990181	0.0210614	0.990227
---scheme2,k=1,T=10---				
N	L2_error	L2_order	L_inf_error	L_inf_order
20	0.219476	0	0.308284	0
40	0.11105	0.98285	0.157022	0.973291
80	0.0577064	0.944412	0.0815944	0.944428
160	0.0287625	1.00454	0.0406762	1.00428
---scheme2,k=1,T=20---				
N	L2_error	L2_order	L_inf_error	L_inf_order
20	0.350595	0	0.494342	0
40	0.204026	0.781054	0.28843	0.777286
80	0.108201	0.915041	0.153015	0.914553
160	0.0563527	0.941155	0.0796899	0.9412
---scheme2,k=5,T=5---				
N	L2_error	L2_order	L_inf_error	L_inf_order
20	0.77911	0	1.09385	0
40	0.65942	0.24063	0.904098	0.274864
80	0.466474	0.499401	0.654307	0.46651
160	0.291789	0.67687	0.412529	0.665472
---scheme2,k=5,T=10---				
N	L2_error	L2_order	L_inf_error	L_inf_order
20	0.701455	0	0.956681	0
40	0.712894	-0.0233366	0.966139	-0.0141927
80	0.628391	0.182024	0.887104	0.123127
160	0.457249	0.458684	0.645485	0.458719
---scheme2,k=5,T=20---				
N	L2_error	L2_order	L_inf_error	L_inf_order
20	0.706958	0	0.862319	0
40	0.707504	-0.00111362	0.968256	-0.167167
80	0.699811	0.0157732	0.978049	-0.0145179
160	0.619796	0.175171	0.876295	0.15849
---scheme2,k=10,T=5---				
N	L2_error	L2_order	L_inf_error	L_inf_order
20	0.262375	0	0.262375	0
40	0.701455	-1.41872	0.956681	-1.86641
80	0.712894	-0.0233366	0.966139	-0.0141927
160	0.628391	0.182024	0.887104	0.123127
---scheme2,k=10,T=10---				
N	L2_error	L2_order	L_inf_error	L_inf_order
20	0.506366	0	0.506366	0
40	0.706958	-0.481446	0.862319	-0.768042
80	0.707504	-0.00111362	0.968256	-0.167167
160	0.699811	0.0157732	0.978049	-0.0145179
---scheme2,k=10,T=20---				
N	L2_error	L2_order	L_inf_error	L_inf_order
20	0.873297	0	0.873297	0
40	0.707107	0.304545	0.873297	1.60171e-15
80	0.707107	5.97265e-07	0.962008	-0.139575
160	0.70719	-0.000170507	0.993414	-0.0463461

图 5: scheme2

scheme2 的精度是 $O(\Delta t) + O\left(\frac{\Delta x^2}{\Delta t}\right) + O(\Delta x^2)$, 稳定性条件是 $|\lambda| = |a \frac{\Delta t}{\Delta x}| \leq 1$, 由于 $\frac{\Delta t}{\Delta x} = 0.9$, 因此在最后一个时间步, 空间上的误差阶是 1 阶的。

scheme3 的运行结果如下:

---scheme3,k=1,T=5---				
N	L2_error	L2_order	L_inf_error	L_inf_order
20	0.0590458	0	0.0830928	0
40	0.0288048	1.03553	0.0406534	1.03135
80	0.0140853	1.03212	0.0199097	1.02991
160	0.00701696	1.00527	0.00992345	1.00455
---scheme3,k=1,T=10---				
N	L2_error	L2_order	L_inf_error	L_inf_order
20	0.108355	0	0.152079	0
40	0.0546799	0.98668	0.077168	0.978744
80	0.0276526	0.983597	0.0391061	0.98061
160	0.0137722	1.00566	0.0194746	1.0058
---scheme3,k=1,T=20---				
N	L2_error	L2_order	L_inf_error	L_inf_order
20	0.194696	0	0.272714	0
40	0.10429	0.900619	0.147476	0.886909
80	0.0534998	0.963001	0.0756243	0.96356
160	0.0272732	0.972046	0.0385702	0.971365
---scheme3,k=5,T=5---				
N	L2_error	L2_order	L_inf_error	L_inf_order
20	0.647176	0	0.888633	0
40	0.459153	0.495184	0.630387	0.495351
80	0.279761	0.714779	0.389196	0.695741
160	0.156049	0.842198	0.220648	0.818746
---scheme3,k=5,T=10---				
N	L2_error	L2_order	L_inf_error	L_inf_order
20	0.70719	0	0.958745	0
40	0.617734	0.195111	0.826475	0.214176
80	0.446949	0.466878	0.630649	0.390134
160	0.274716	0.702168	0.387049	0.704321
---scheme3,k=5,T=20---				
N	L2_error	L2_order	L_inf_error	L_inf_order
20	0.707606	0	0.862988	0
40	0.697357	0.0210492	0.958088	-0.150818
80	0.609485	0.194305	0.849246	0.173976
160	0.442784	0.460988	0.625958	0.440117
---scheme3,k=10,T=5---				
N	L2_error	L2_order	L_inf_error	L_inf_order
20	0.262375	0	0.262375	0
40	0.70719	-1.43047	0.958745	-1.86952
80	0.617734	0.195111	0.826475	0.214176
160	0.446949	0.466878	0.630649	0.390134
---scheme3,k=10,T=10---				
N	L2_error	L2_order	L_inf_error	L_inf_order
20	0.506366	0	0.506366	0
40	0.707606	-0.482766	0.862988	-0.76916
80	0.697357	0.0210492	0.958088	-0.150818
160	0.609485	0.194305	0.849246	0.173976
---scheme3,k=10,T=20---				
N	L2_error	L2_order	L_inf_error	L_inf_order
20	0.873297	0	0.873297	0
40	0.707106	0.304546	0.873297	7.32432e-07
80	0.707133	-5.37641e-05	0.961917	-0.13944
160	0.694144	0.026746	0.975949	-0.0208929

图 6: scheme3

scheme3 的精度是 $O(\Delta t) + O(\Delta x)$, 当 $a > 0$ 时, 稳定性条件是 $0 \leq \lambda = a \frac{\Delta t}{\Delta x} \leq 1$, 在最后一个时间步, 空间上的误差阶同样是 1 阶的。

在 scheme2 和 scheme3 的运行结果中都出现了下述现象: 当 $k=1$ 时, 随着 N 从 20 增加到 160, 误差逐渐减小, 且误差阶始终在 1 附近, 符合理论预期。而当 k 增加到 5 和 10, 误差阶不再在 1 附近, 且误差也不再随着 N 的增大而减小, 甚至误差会增加。

我用 python 分别画出了 scheme2 和 scheme3 在 $k=1, 5, 10$ 和 $T=10$ 时数值解和精确解的图像进行对比。

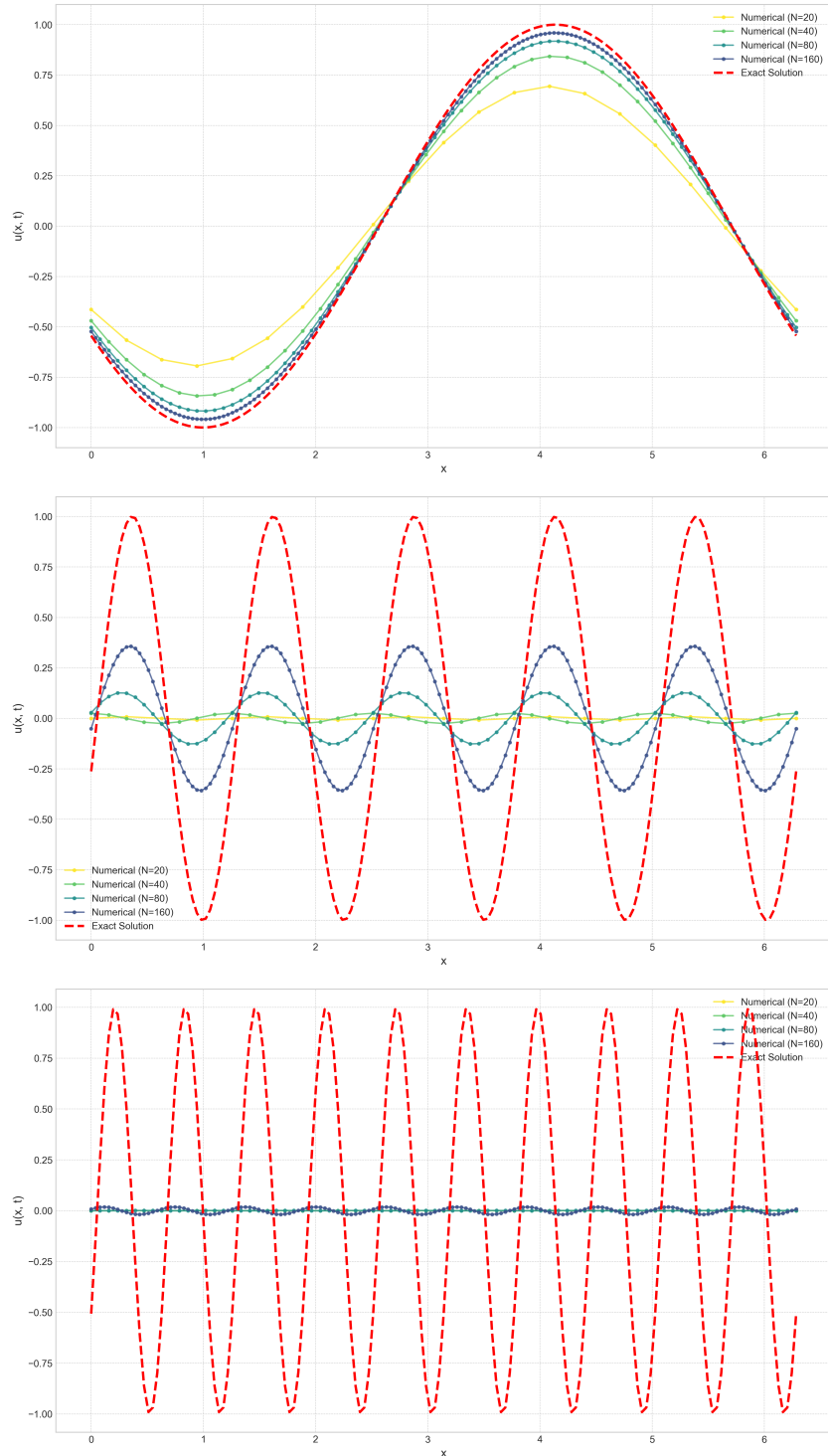


图 7: scheme2 的数值解和精确解

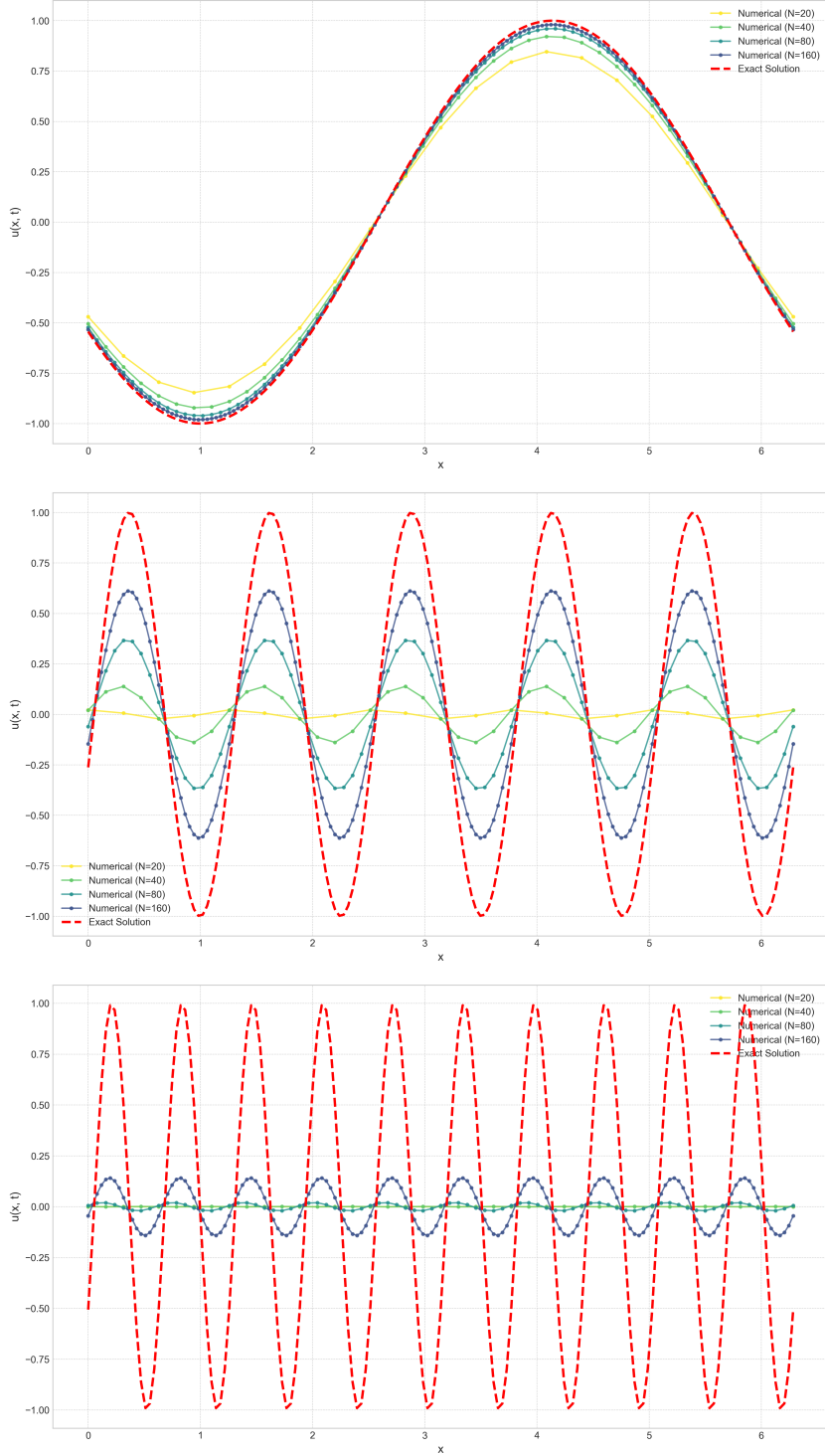


图 8: scheme3 的数值解和精确解

可以看到, 当 $k=1$ 时, 数值解图像和精确解图像拟合得较好; 而当 k 增大到 5 和 10 时, 函数的频率增大, 数值解的图像和精确解的图像差距较大。且增大 N 有助于减小数值解和精确解的差距。

这可能是因为当 k 增大、函数变得高频、变得更加精细时, N 过小导致网格分辨率不足。解函数 $\sin(kx)$ 的波长是 $\frac{2\pi}{k}$ 。一个波长内的网格点数是 $\frac{N}{k}$ 。当 $k=10$, $N=20$ 时, 一个波长内仅有两个点, 这显然不足以描述波的变化趋势, 从而引入了较大的误差。

而当我将 scheme2 的 N 增加到 1280, 2560, 5120, 10240 时, 如图 9 所示, 即使 $k=5$ 和 10, 误差阶仍然能稳定在 1 附近, 且误差随着 N 的增大而减小。对比图 10 和图 7, 可以看到数值解和精确解的差距也大大减小。因此上述 N

过小导致误差发散的猜测似乎是合理的，同时由于在理论上分析精度时，我们会让 Δx 趋于 0，这也需要较大的 N 值。

1280	0.00183274	0	0.00259188	0
2560	0.000916779	0.999353	0.00129652	0.999354
5120	0.000458353	1.00011	0.00064821	1.00011
10240	0.00022908	1.00061	0.000323968	1.00061
---scheme2, k=1, T=10---				
N	L2_error	L2_order	L_inf_error	L_inf_order
1280	0.00365999	0	0.00517599	0
2560	0.00183163	0.998709	0.00259032	0.998706
5120	0.000915873	0.999909	0.00129524	0.999909
10240	0.000457947	0.999966	0.000647635	0.999966
---scheme2, k=1, T=20---				
N	L2_error	L2_order	L_inf_error	L_inf_order
1280	0.0072981	0	0.0103211	0
2560	0.00365638	0.997105	0.0051709	0.997104
5120	0.00183001	0.998564	0.00258803	0.998564
10240	0.000915446	0.999305	0.00129464	0.999305
---scheme2, k=5, T=5---				
N	L2_error	L2_order	L_inf_error	L_inf_order
1280	0.04442	0	0.0628193	0
2560	0.0225662	0.977043	0.0319131	0.977061
5120	0.0113701	0.988918	0.0160798	0.988901
10240	0.00570478	0.995005	0.008067777	0.995004
---scheme2, k=5, T=10---				
N	L2_error	L2_order	L_inf_error	L_inf_order
1280	0.0860335	0	0.121665	0
2560	0.044395	0.954503	0.0627838	0.954446
5120	0.0225444	0.977626	0.0318826	0.977622
10240	0.0113601	0.988789	0.0160657	0.988789
---scheme2, k=5, T=20---				
N	L2_error	L2_order	L_inf_error	L_inf_order
1280	0.161543	0	0.228455	0
2560	0.0859555	0.910259	0.121559	0.910251
5120	0.0443571	0.954424	0.0627305	0.954422
10240	0.0225341	0.977057	0.031868	0.977057
---scheme2, k=10, T=5---				
N	L2_error	L2_order	L_inf_error	L_inf_order
1280	0.16162	0	0.228564	0
2560	0.0860335	0.909638	0.121665	0.909692
5120	0.044395	0.954503	0.0627838	0.954446
10240	0.0225444	0.977626	0.0318826	0.977622
---scheme2, k=10, T=10---				
N	L2_error	L2_order	L_inf_error	L_inf_order
1280	0.28627	0	0.40481	0
2560	0.161543	0.825453	0.228455	0.825333
5120	0.0859555	0.910259	0.121559	0.910251
10240	0.0443571	0.954424	0.0627305	0.954422
---scheme2, k=10, T=20---				
N	L2_error	L2_order	L_inf_error	L_inf_order
1280	0.456576	0	0.645695	0
2560	0.286057	0.674553	0.404536	0.674585
5120	0.16142	0.82548	0.228282	0.825448
10240	0.0859184	0.909781	0.121507	0.909785

图 9: 增大 N 后 scheme2 的误差

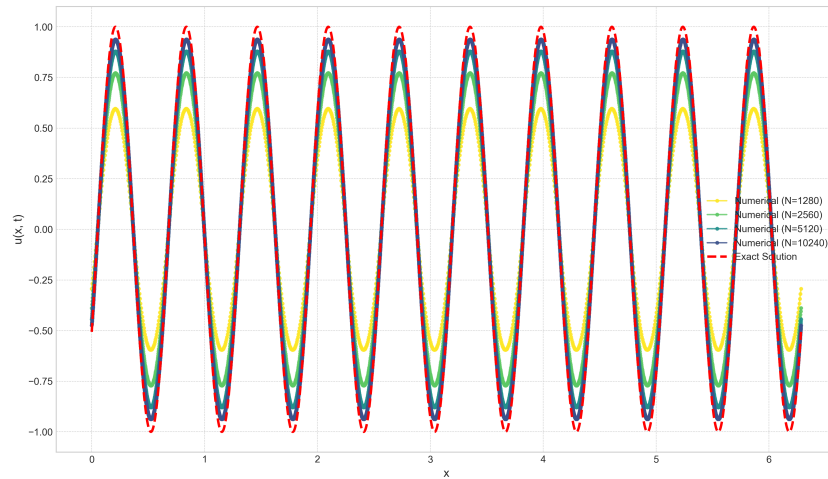


图 10: 增大 N 后 scheme2 的数值解和精确解

在查阅资料时发现，数值耗散对 scheme2 误差较大也有一定的影响。由于对其缺乏足够的了解，这里不作讨论。

3.3 第 3 题

scheme3 的运行结果如下：

(3)				
---scheme3, k=1, T=5---				
N	L2_error	L2_order	L_inf_error	L_inf_order
10	6.29086	0	8.71722	0
20	2.12412	1.56639	2.99371	1.54193
40	0.766891	1.46977	1.13895	1.39423
---scheme3, k=1, T=10---				
N	L2_error	L2_order	L_inf_error	L_inf_order
10	60.1351	0	81.5246	0
20	10.3506	2.53849	14.6982	2.47159
40	3.43848e+14	-44.9171	7.77471e+14	-45.5882
---scheme3, k=1, T=20---				
N	L2_error	L2_order	L_inf_error	L_inf_order
10	5055.46	0	6915.33	0
20	2.64573e+14	-35.697	4.51569e+14	-35.9264
40	1.16126e+46	-105.114	2.42401e+46	-105.404
---scheme3, k=5, T=5---				
N	L2_error	L2_order	L_inf_error	L_inf_order
10	0.132352	0	0.132352	0
20	374380	-21.4317	529208	-21.931
40	149211	1.32715	210792	1.32801
---scheme3, k=5, T=10---				
N	L2_error	L2_order	L_inf_error	L_inf_order
10	0.262375	0	0.262375	0
20	1.9124e+11	-39.4069	2.70406e+11	-39.9066
40	2.50191e+15	-13.6754	6.20546e+15	-14.4861
---scheme3, k=5, T=20---				
N	L2_error	L2_order	L_inf_error	L_inf_order
10	4.62358	0	5.21608	0
20	4.91887e+22	-73.1717	6.93896e+22	-73.4942
40	9.42152e+46	-80.6639	1.81818e+47	-81.116
---scheme3, k=10, T=5---				
N	L2_error	L2_order	L_inf_error	L_inf_order
10	0.262375	0	0.262375	0
20	0.262375	-6.57478e-07	0.262375	-9.38361e-07
40	1.9124e+11	-39.4069	2.70406e+11	-39.9066
---scheme3, k=10, T=10---				
N	L2_error	L2_order	L_inf_error	L_inf_order
10	0.506366	0	0.506366	0
20	10.8554	-4.42209	13.838	-4.77231
40	4.91887e+22	-71.9464	6.93896e+22	-72.0866
---scheme3, k=10, T=20---				
N	L2_error	L2_order	L_inf_error	L_inf_order
10	1.29351	0	2.14706	0
20	6.34783e+16	-55.4458	7.83025e+16	-55.0175
40	2.81078e+47	-101.804	4.76434e+47	-102.263

图 11: scheme3

由于本来的公式对应的是 $a>0$ 的情形，当将其用于 $a<0$ 时不满足稳定性条件，因此数值解几乎完全崩溃。按照对称性，当 $a<0$ 时，本应使用的公式是

$$V_j^{n+1} = V_j^n + a \frac{\Delta t}{\Delta x} (V_j^n - V_{j-1}^n)$$

$$V_j^0 = f(x_j)$$

此时误差将与 $a=1$ 时完全相同。